

V-49 軽量骨材コンクリートの乾燥による強度低下に関する考察

東京都立大学

正会員

○村田二郎

神山行男

大塚茂雄

1. 緒言 人工軽量骨材コンクリートは乾燥するとその引張強度および曲げ強度が相当に低下するることはよく知られていうことである。しかし、その原因として軽量骨材の吸水に起因するソリ応力や軽量骨材の乾燥膨張が挙げられてはいるが未だ十分明らかでない。また乾燥による強度低下の現象に対する工学的評価が甚だ曖昧であると考えられ、これらについて検討を試みた。

2. 軽量骨材コンクリートの乾燥による強度低下の原因についての検討

表1に示す吸水量が3~15%と大差のある4種の造粒形軽量骨材を選択し、光ガコンクリートとしての乾燥による強度低下を確かめ、つぎに軽量コンクリートのソリ試験、軽量骨材粒の細孔径分布および乾燥膨張試験を行ない、軽量骨材コンクリートの乾燥による強度低下の原因について検討を重ねた。

(i) 軽量骨材コンクリートの乾燥による強度低下に関する実験結果(表2) 小型供試体を2週水中以後2週乾燥により、どの軽量骨材を用いた場合も著しい強度低下を示し、引張りで15~25%、曲げ強度で40~45%の強度低下を示した。

(ii) ソリ試験結果 吸水量の多いB骨材と吸水量の少いL骨材とを用い、図1に示すよ

表1 使用骨材の比重および吸水量

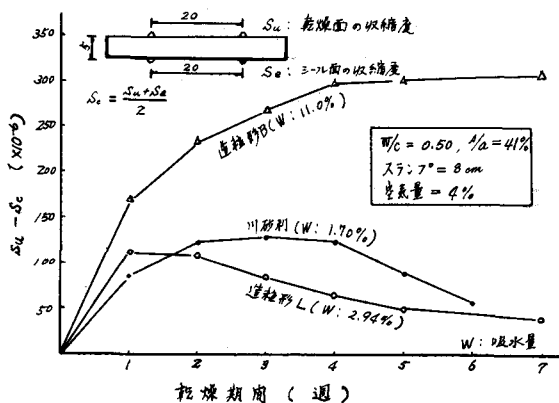
骨材	粒径 (mm)	比重	吸水量 (%)
造粒形 B	15~10	1.31	10.6
	10~5	1.34	11.3
造粒形 M	15~10	1.25	16.0
	10~5	1.41	14.2
造粒形 L	15~10	1.82	3.03
	10~5	1.41	2.84
造粒形 N	15~10	1.21	3.24
	10~5	1.36	5.08
川砂利	15~5	2.62	1.70

表2 乾燥による軽量骨材コンクリートの強度低下

粗骨材	吸水量 (%)	引張強度比 $\frac{f_{pd}}{f_{pd,0}}$	曲げ強度比 $\frac{f_{bd}}{f_{bd,0}}$
造粒形B	11.0	83.1	54.8
造粒形M	15.1	76.2	59.8
造粒形L	2.94	74.5	59.3
川砂利	1.70	100	94.7

$f_{pd}, f_{pd,0}$: 2週水中、2週空气中
 $f_{bd}, f_{bd,0}$: 4週水中
コンクリートの配合: $W/C = 0.50, 1/a = 50\%$
ストラット: $7 \times 8 \text{ cm}$, 空気量: 4% (ボックス $50 \times 50 \times 50 \text{ cm}^3$)

図1 軽量骨材コンクリートの表面と内部との乾燥収縮差に関する実験結果



(iii) 軽量骨材の細孔径分布試験結果 15~10 mm, 10~5 mm の代表的試料をそれぞれ約50g

大に破砕して 1~2 g を試料とし, Carlo Erba Porosimeter を用い、圧力を 0.1~1,000 MPa/cm² の範囲で細孔径分布を測定した。測定結果は図2のようである。全細孔容積は軽量骨材の種類によって相当に差異があるが、乾燥膨張に密接な関係があるといわれている 75~750 Å の細孔容積は骨材の種類による差異が一ア着しく、M, L および N 骨材の細孔容積は B 骨材のそれと水大約 34% 以上および 1/4 ととなっている。(表3)

軽量骨材の乾燥過程は、粗い細孔から逐次細かい細孔内の水分が失われ、大気湿度に対する細孔内に気体が凝縮しメニスカスを形成する。さらに乾燥が進むばメニスカスの表面が消失し膨張が止まると考えられる。大気湿度に対する細孔半径は Kelvin 式から一般に 75~750 Å となる。

$$\frac{1}{R} + \frac{1}{R_2} = -\frac{PRT}{\delta M} \ln \frac{P}{P_0}$$

ここで R_1, R_2 : メニスカスの二方向の半径
 $R_1 = R_2 = r$ × 植度 δ

P: 水の密度 0.99823 g/cm³ (20°C)

R: 気体定数 8.48×10^{-4} g·cm/⁰C·mol

T: 絶対温度 293°T (20°C)

δ : 水の表面張力 0.0742 g/cm (20°C)

M: 水の分子量 18 g/mol

相対湿度 $P/P_0 = 0.72 \sim 0.966$ の場合、 $r = 75 \sim 750 \text{ } \text{\AA}$
 となる。

(iv) 軽量骨材の乾燥膨張試験結果 各種軽量骨材から水取出 13~15 mm 程度の粒を探り、供試体の表面部モルタル層に 3 cm 間隔で規則的に埋込み、1 個あたりに骨材表面 1 部露出、表面モルタル被覆なし、露出骨材部分の乾燥による変形量を測定した。(測長 20 mm 図3) その結果は表4のようす。軽量骨材はすべて乾燥膨張を示し、これに乾燥によるコンクリートの強度低下に寄与しているものと推察される。そこで各骨材の膨張变形量と骨材中の 75~750 Å の細孔容積との関係を求めると図4 のようにになり、両者との間に密接な関係があることが認められる。しかし、コンクリートの強度低下率とコンクリートに用いた軽量粗骨材中の 75~750 Å の細孔容積の企画との関係を求めるところなり

図2 細孔径分布試験結果

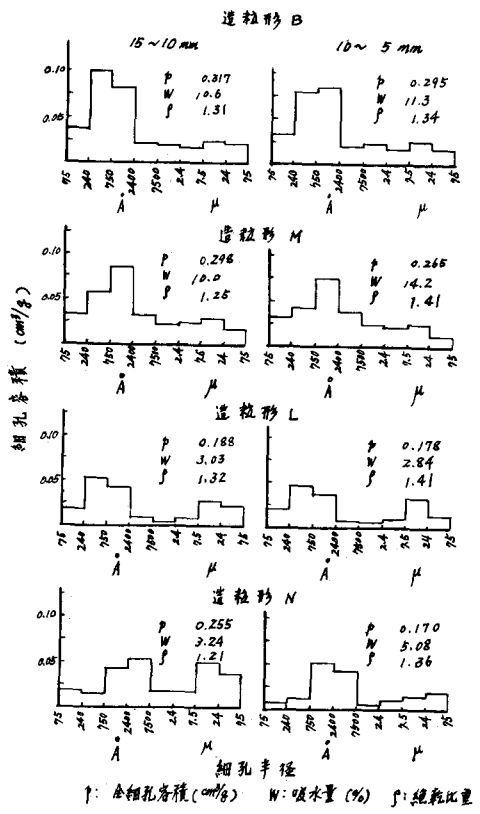
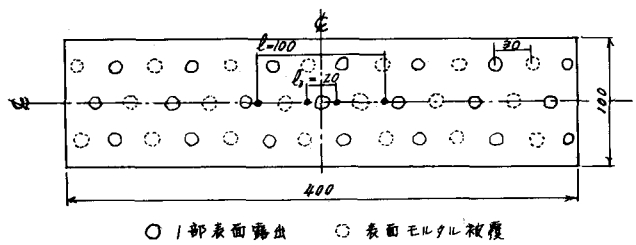


表3 75~750 Å の細孔の容積

粒径 (mm)	細孔容積			
	B	M	L	N
75~750 Å	0.036 (42.9)	0.090 (30.2)	0.071 (37.7)	0.035 (13.7)
	細孔容積 (cm³/g)	0.317	0.298	0.188
75~150 Å	0.111 (37.7)	0.073 (27.6)	0.067 (38.7)	0.023 (14.1)
	細孔容積 (cm³/g)	0.255	0.265	0.178
10~5	0.295 (31.1)	0.265	0.178	0.170 (14.1)
	細孔容積 (cm³/g)			

() 内: 全容積に対する百分率

図3 乾燥膨張試験供試体



これらの間に満足は相間は認められない。

以上の実験結果から軽量骨材コンクリートの乾燥による強度低下の原因は供試骨材の水吸収率で未だコンクリートの表面部と内部との乾燥収縮が不均一であることが明白になった。骨材の乾燥膨張による周囲のセメントペースト部のかじれ水は有力な原因ではあるが、強度低下の現象を定量的に説明するには必ずしも直線的関係はない。

強度低下は生じたかじれ水の大きさや深さに影響されるにせよ、供試体の形状寸法、載荷方法等の影響も付けて極めて複雑なものであるから、この問題は「強度低下」としてではなく、含水以前に「かじれ水」の問題として把握するべき向問題解決の道を考えよう。

3. 軽量骨材コンクリートの乾燥による強度低下の工学的評価

軽量骨材コンクリートの乾燥による引張強度の低下を考慮して、ACI Building Code 1963では骨材の設計に用いる軽量コンクリートの引張強度は7日湿度以後21日湿度30%で乾燥した小型供試体供度を基準としている。これから許容せん断応力は普通コンクリートの1.2倍とされる。 $d = 0.4 f_{cy} \sqrt{f_c}$ または 0.62

土木学会人工軽量骨材コンクリート設計施工指針(案)でも許容せん断応力は普通コンクリートの約90%に規定している。

これらの措置は小型供試体における強度低下の現象を構造部材の強度に直接反映つけたものであるが、部材寸法や環境の相違が全く考慮されておらず、適用性のないのがたま。軽量骨材コンクリートのせん断、支点、引張等の許容応力は乾燥による大きさと適応する必要はない。

乾燥によるかじれ水現象は、軽量コンクリート部材の構造強度に影響はないが、耐久性に重大な影響を及ぼすものと考えられる。微細なかじれ水から水の浸透によって凍結融解による破壊が促進され、またコンクリートの中性化は微細かじれ水によって着々と進行するところである。

表4 乾燥膨張試験結果

乾燥期間 (週)	河川骨材	造粒形B		造粒形N		造粒形L	
		$f_s (10^3 \text{ kg})$	$L (\times 10^3)$	$f_s (10^3 \text{ kg})$	$L (\times 10^3)$	$f_s (10^3 \text{ kg})$	$L (\times 10^3)$
1	-	-2.1	6	-2.6	0	-3.1	3
2	1	-3.2	9	-3.5	3	-5.4	2
3	2	-4.0	8	-4.3	3	-5.9	5
4	-1	-4.5	12	-5.2	-	-	4
5	-1	-5.5	11	-5.5	2	-8.1	-
6	-1	-6.1	10	-6.8	3	-8.4	4.5

+ 膨張 - 收縮

図4 軽量骨材中の75~750kg/m³の細孔容積と乾燥膨張の関係

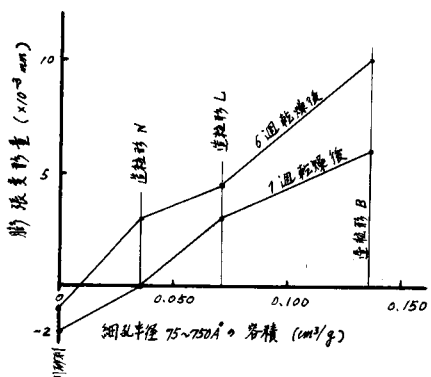


図5 軽量骨材中の75~750kg/m³の細孔容積と強度低下との関係

